Cenário de Ruelle-Takens via Quase-Periodicidade

Iberê L. Caldas Abril de 2009

Índice

- I- Cenário de Landau
- II- Mapa do Círculo
- III- Cenário de Ruelle-Takens
- IV- Janelas Periódicas

I- Cenário de Landau

Landau e Lifshitz, Mecânica dos Fluidos: Oscilação turbulenta de F seria resultante de bifurcações sucessivas que dão origem às frequências f_i

$$F = F (f_1t, f_2t, f_3t,...fkt) \rightarrow Torus k$$

Cenário:
$$T_1 \rightarrow T_2 \rightarrow T_3 \rightarrow ... \rightarrow T_k$$

Cenário nunca verificado experimentalmente

II- Mapa (Unidimensional) do Círculo

Mapa do Círculo

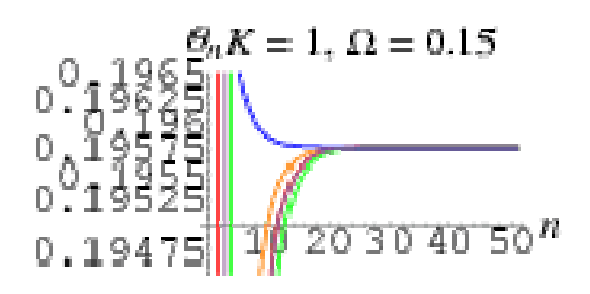
$$\theta_{n+1} = \theta_n + \Omega - \frac{K}{2\pi} \sin(2\pi\theta_n).$$

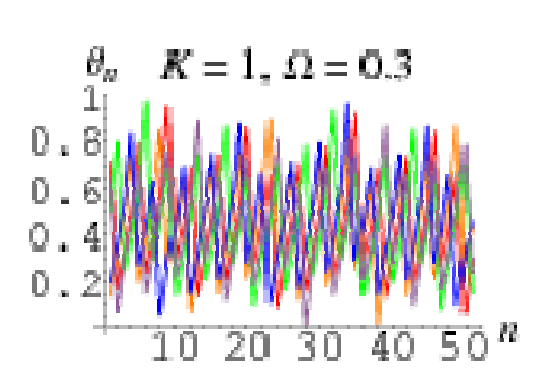
K: constante de acoplamento

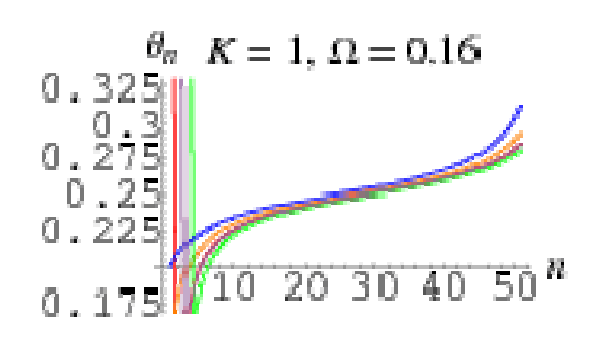
Ω: frequência de forçamento

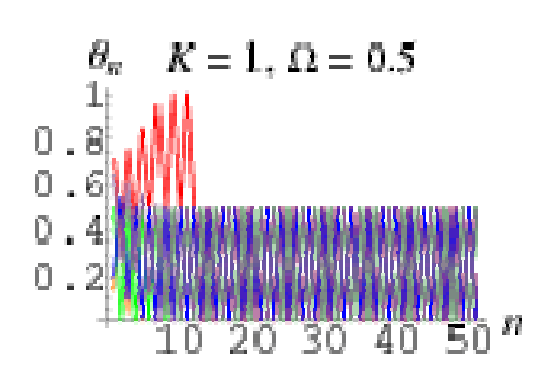
 $K = 0 \rightarrow \text{rotação}$ $\Omega = \text{n/m} \rightarrow \text{órbitas quase-periódicas}$ $\Omega = \text{irracional} \rightarrow \text{órbitas periódicas}$

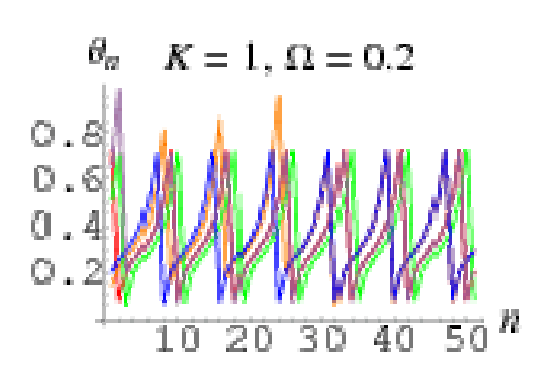
Exemplos de Séries Temporais

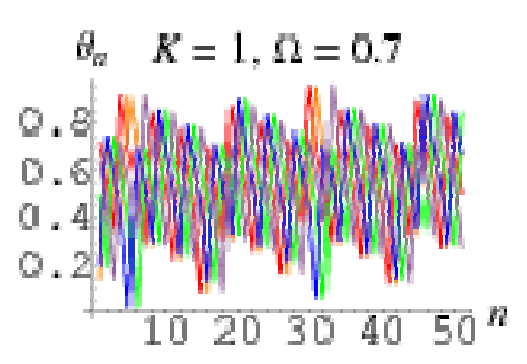




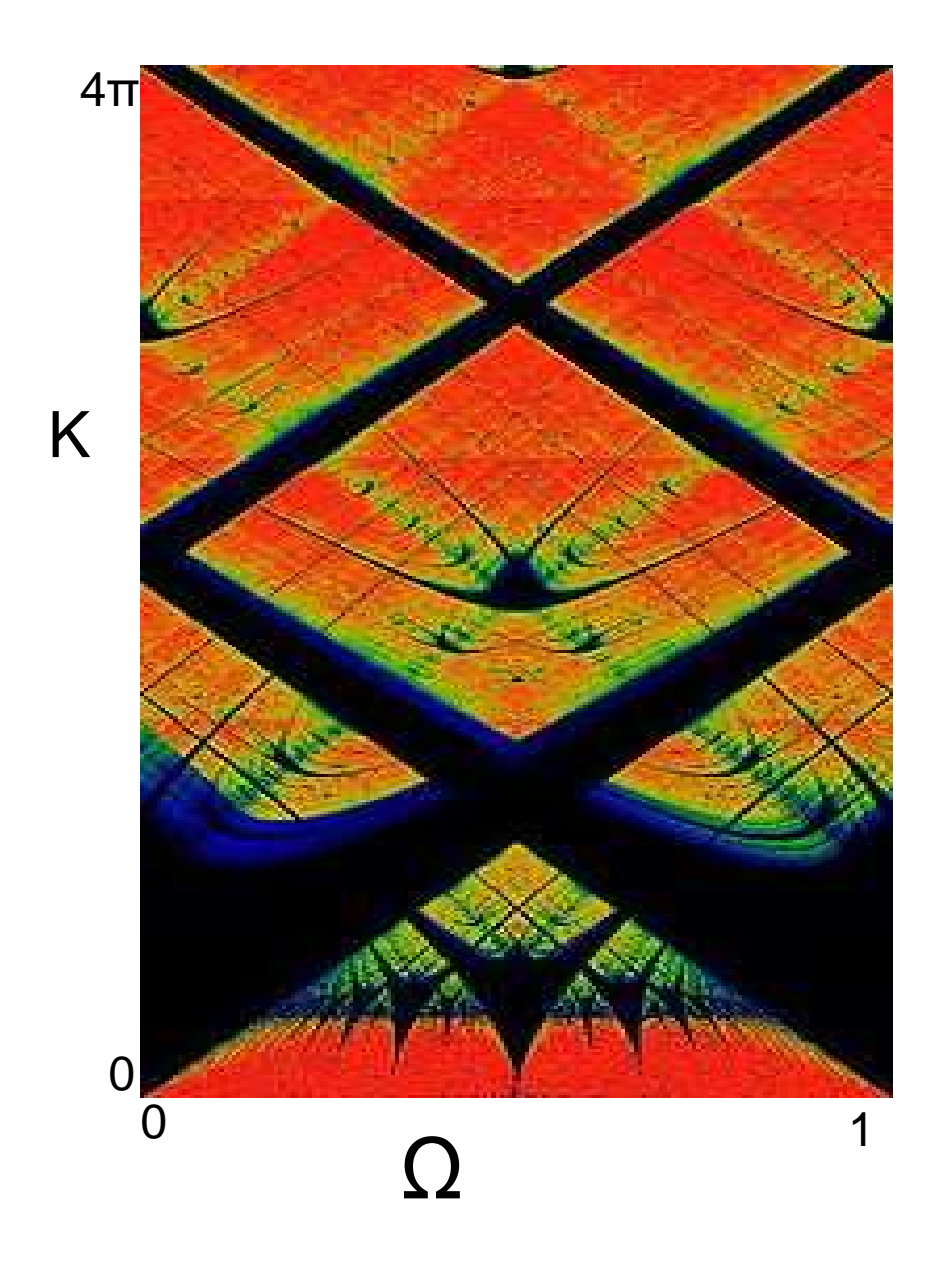








Espaço dos Parâmetros



Preto: órbitas periódicas

K~ 0 → linguas de Arnold

 Ω = n/m \rightarrow órbitas periódicas Ω = irracional \rightarrow órbitas quaseperiódicas

Multiestabilidade (coexistência de atratores)

Número de Rotação

$$\omega = \lim_{n \to \infty} \frac{\theta_n}{n}.$$

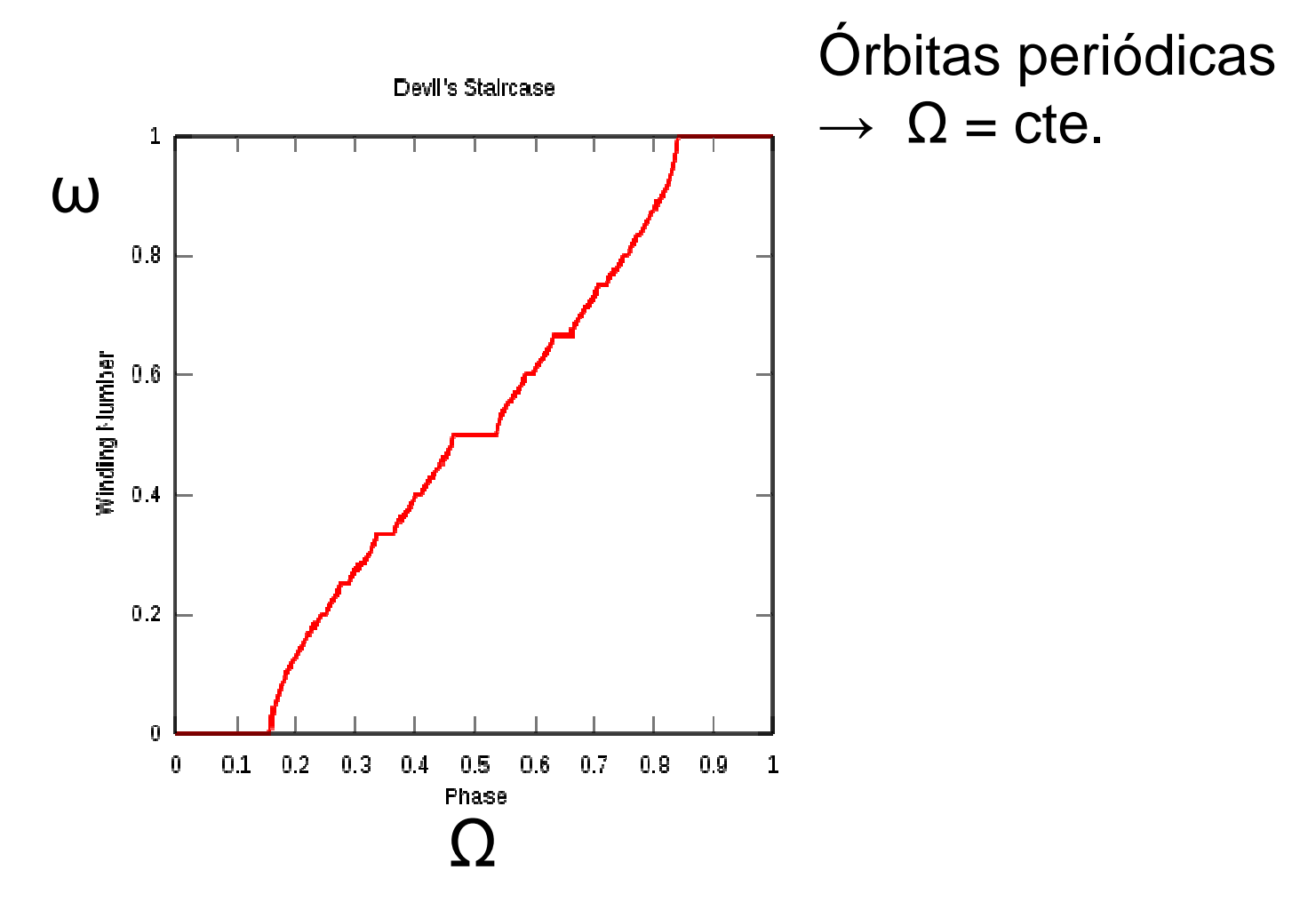
Órbitas regulares

 ω = racional = n/m \rightarrow órbitas periódicas

 ω = irracional \rightarrow órbitas quase-periódicas

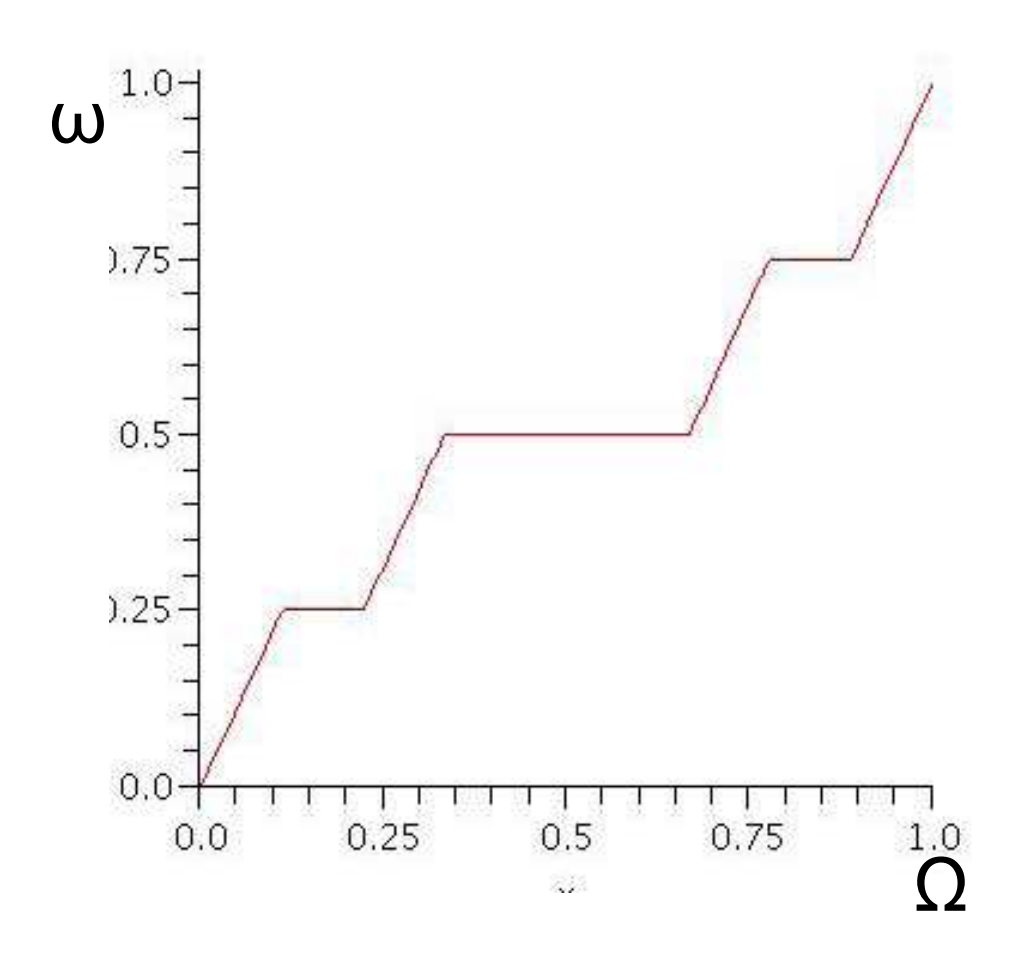
Órbitas caóticas $\rightarrow \omega$ não converge

A Escada do Diabo



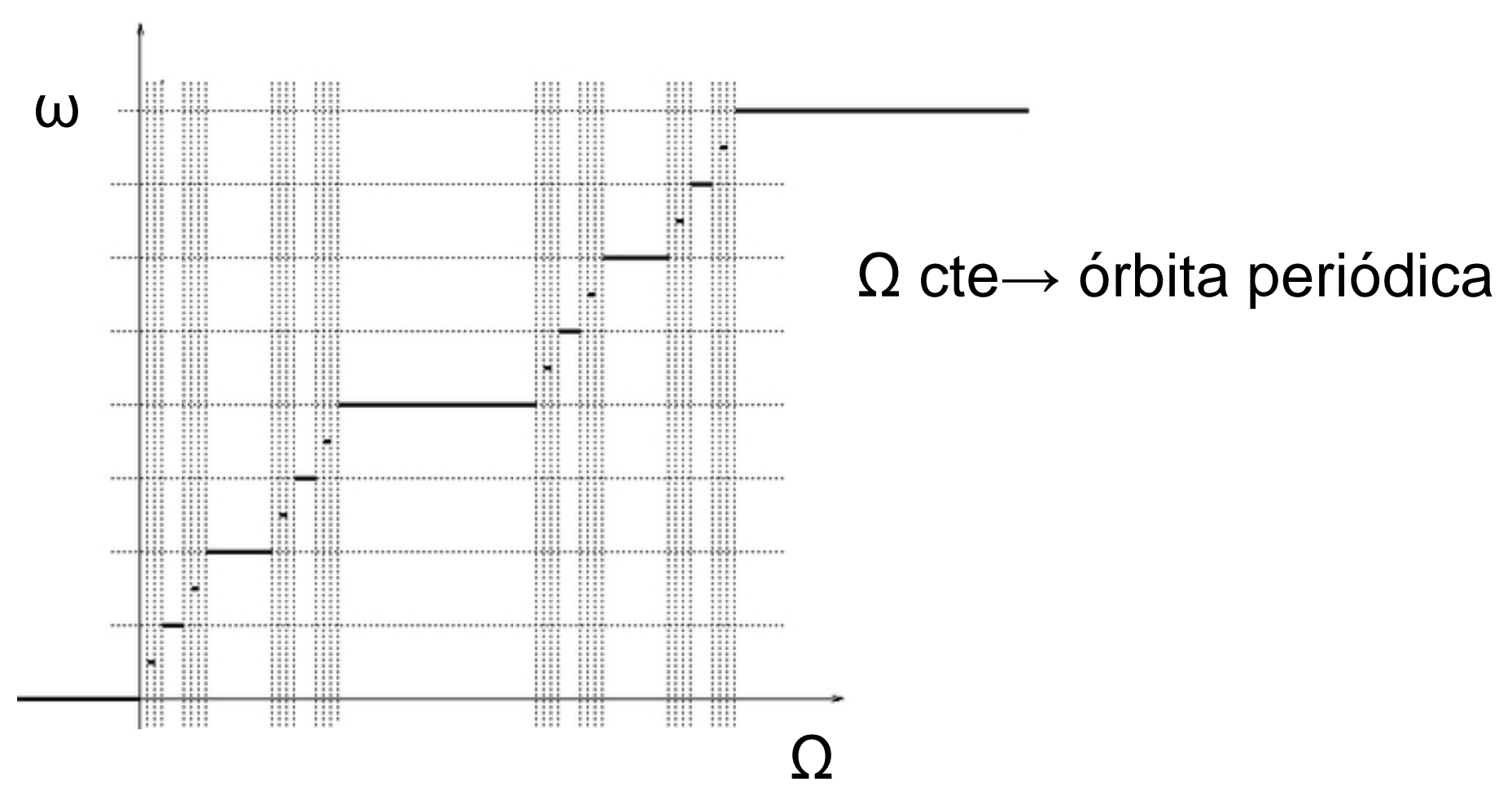
Número de rotação ω x frequência Ω para K = 1

Escada do Diabo (Fractal)



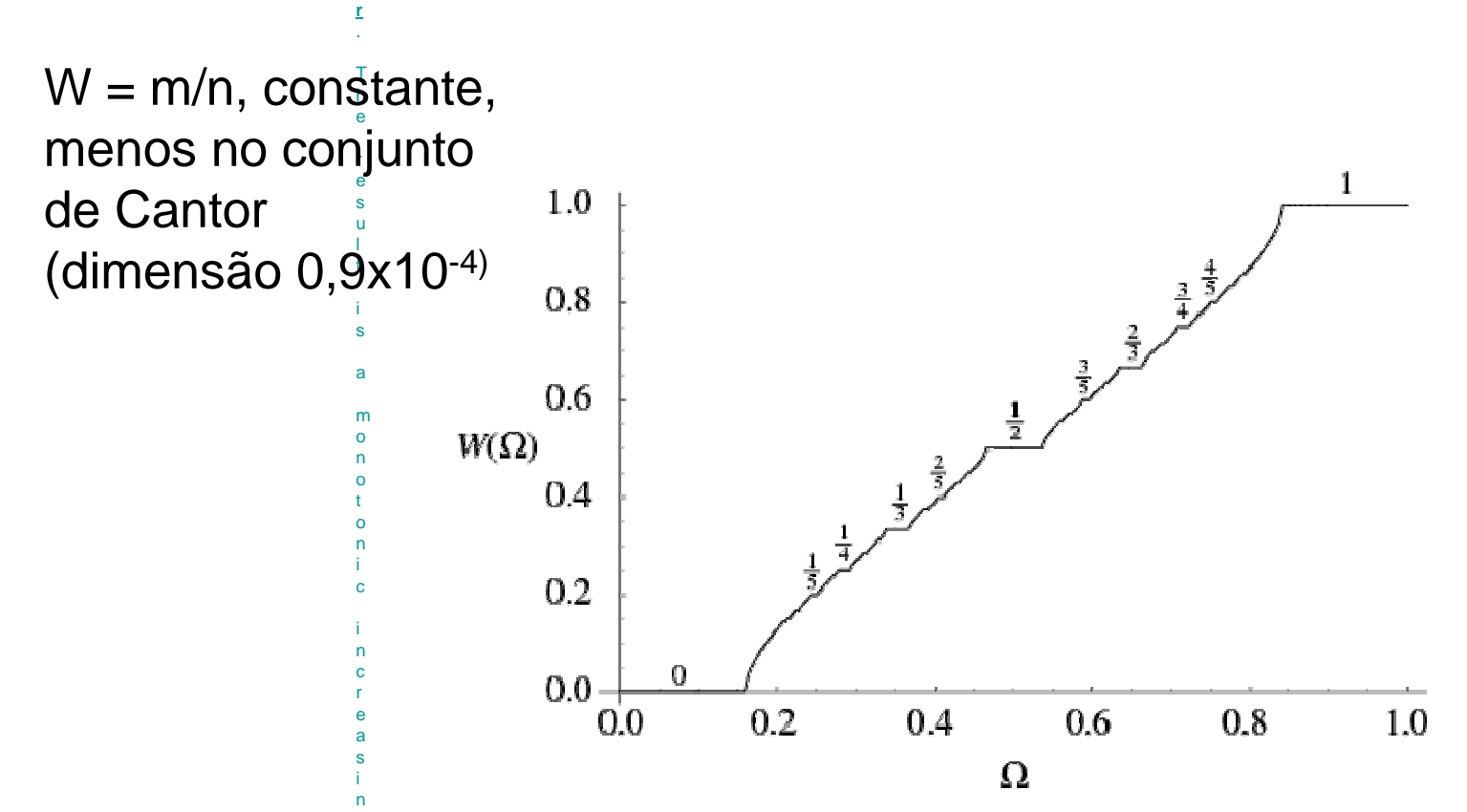
Número de rotação X frequência (amplitude fixa)

Escada do Diabo (Fractal)



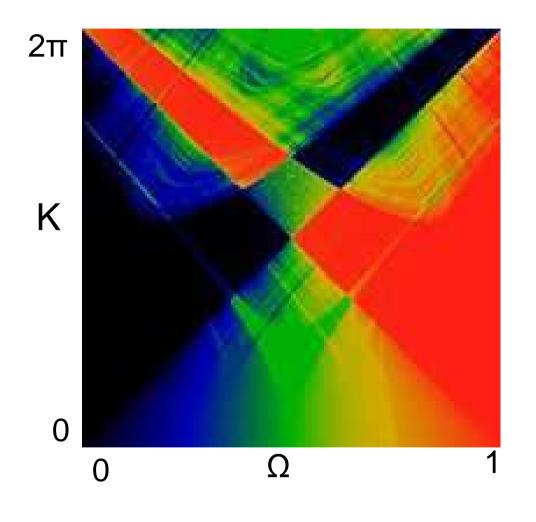
Número de rotação X frequência (amplitude fixa)

Número de Rotação de Algumas Órbitas Periódicas



Número de rotação x frequência (K = 1) (W não depende da condição inicial)

Cálculo do Número de Rotação ω



Preto: $\omega = 0$

Verde: $\omega = 0.5$

Vermelho: $\omega = 1$

III- cenário de Ruelle-Takens

Ruelle-Takens Theorem

D. Ruelle and F. Takens, Comm. Math. Phys. **20**, 167 (1971)

An immensely influential paper in the history of the study of chaos was the work of Ruelle and Takens [1], later extended with Newhouse [2] on the robustness of quasiperiodic dynamics with 3 or more incommensurate frequencies. This addressed the question of whether complexity in dynamics was likely to occur through the accumulation of Hopf-like bifurcations adding additional frequencies (and presumably spatial "modes"), or instead through the onset of low dimensional chaos. The statement of the theorem was quite mathematical, which led initially to a misunderstanding of the strength of the result in the physics community, but nevertheless it remains a powerful result.

- [1] D. Ruelle and F. Takens, Comm. Math. Phys. **20**, 167 (1971)
- [2] S.E. Newhouse, D. Ruelle and F. Takens, Comm. Math. Phys. 64, 35 (1978)

Rota em um Mapa de Poincaré Bidimensional (Fluxo Tridimensional)

C. Grebogi, E. Ott and J.A. Yorke Phys. Rev. Lett. 51, 339 (1983); Physica D15, 354 (1985)

$$\theta_{n+1} = \theta_n + \omega_1 + \varepsilon P_1(\theta_n, \phi_n) \mod 1$$

$$\phi_{n+1} = \phi_n + \omega_2 + \varepsilon P_2(\theta_n, \phi_n) \mod 1$$

where P_1 , P_2 are nonlinear functions periodic in both θ and ϕ with period 2π . The explicit forms used were sums of sinusoidal functions $A_{rs} \sin \left[2\pi \left(r\theta + s\phi + B_{rs} \right) \right]$ with A_{rs} and B_{rs} chosen randomly for (r, s) taking the values (0, 1), (1, 0), (1, 1), (1, -1). Equation (21.2) takes the form of two, nonlinearly coupled circle maps.

(P), as well as chaos. The types of motion were identified through the values of the two Lyapunov exponents (together with the third value 0 for the corresponding flow):

Map exponents	Flow Exponents	Dynamics
0, 0	0, 0, 0	3-frequency QP
0, -	0, 0, -	2-frequency QP
_, _	0, -, -	1-frequency (P)
+, ?	+, 0, ?	Chaotic

They found the percentage of the values of leading to each type of motion

Attractor	$\varepsilon/\varepsilon_c = 0.375$	$\varepsilon/\varepsilon_c = 0.75$	$\varepsilon/\varepsilon_c = 1.125$
3-frequency QP	82%	44%	0%
2-frequency QP	16%	38%	32%
Periodic	2%	11%	31%
Chaotic	0%	7%	36%

where ε_c is the value of ε for which the map becomes noninvertible. (When the map is noninvertible it can be shown that there is no 3-frequency periodic motion, c.f. the 1d circle map at K > 1.) Thus in this example at least, 3-frequency quasiperiodic

Evidências Experimentais

Experimentally 3-frequency quasiperiodic motion has been documented by Gollub and Benson [4], and 4-frequency and 5-frequency quasiperiodic motion by Walden et al.[5], both in fluid convection.

- [4] J.P. Gollub and S.V. Benson, J. Fluid. Mech. **100**, 449 (1980)
- [5] R.W. Walden, P. Kolodner, A. Passner, C.M. Surko, Phys. Rev. Lett. 53, 242 (1984)

Mapa do Círculo

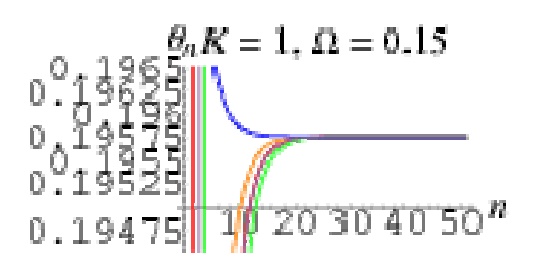
$$\theta_{n+1} = \theta_n + \Omega - \frac{K}{2\pi} \sin(2\pi\theta_n).$$

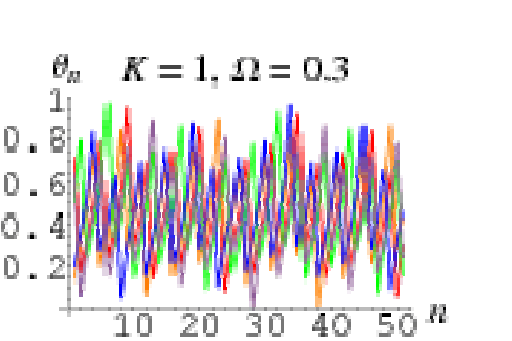
K: constante de acoplamento

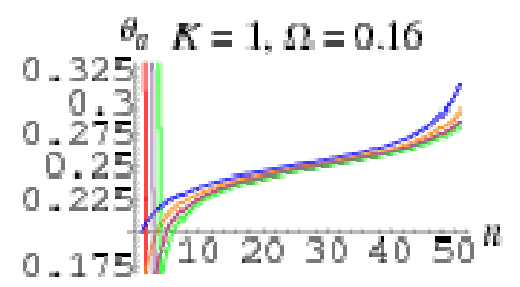
Ω: frequência de forçamento

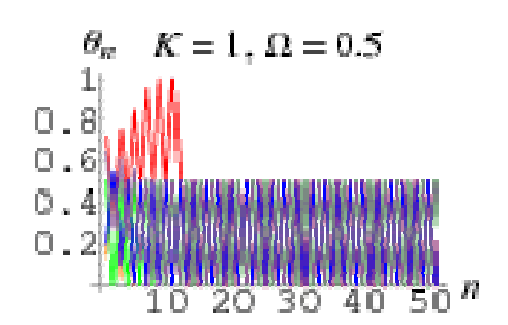
 $K = 0 \rightarrow rotação$ $\Omega = n/m \rightarrow orbitas quase-periodicas$ $\Omega = irracional \rightarrow orbitas periodicas$

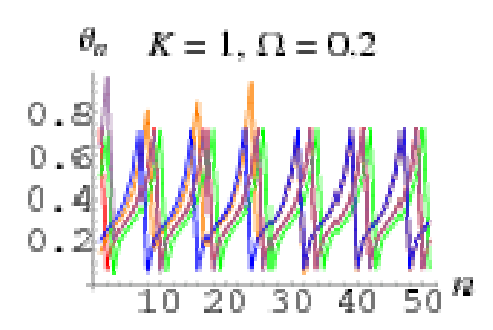
Exemplos de Séries Temporais

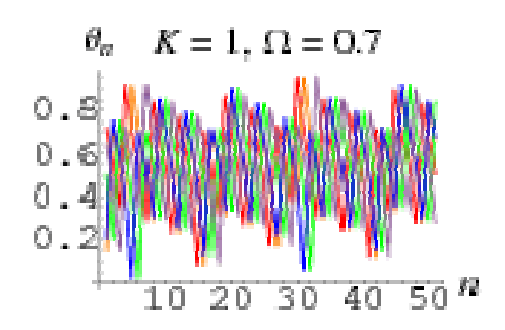




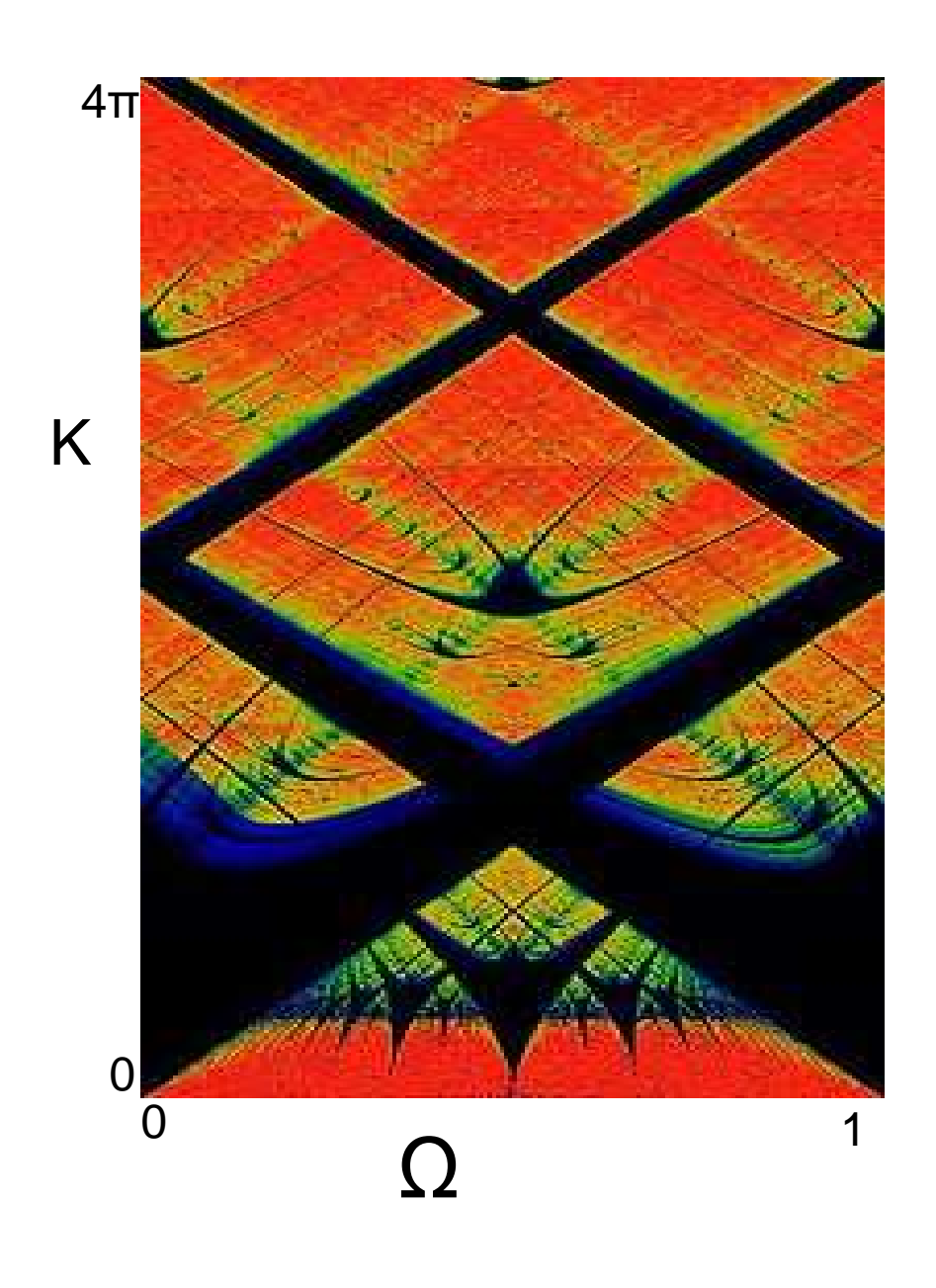








Espaço dos Parâmetros



Preto: órbitas periódicas

K~ 0 → linguas de Arnold

 Ω = n/m \rightarrow órbitas quase-periódicas Ω = irracional \rightarrow órbitas periódicas

Multiestabilidade (coexistência de atratores)

Número de Rotação

$$\omega = \lim_{n \to \infty} \frac{\theta_n}{n}.$$

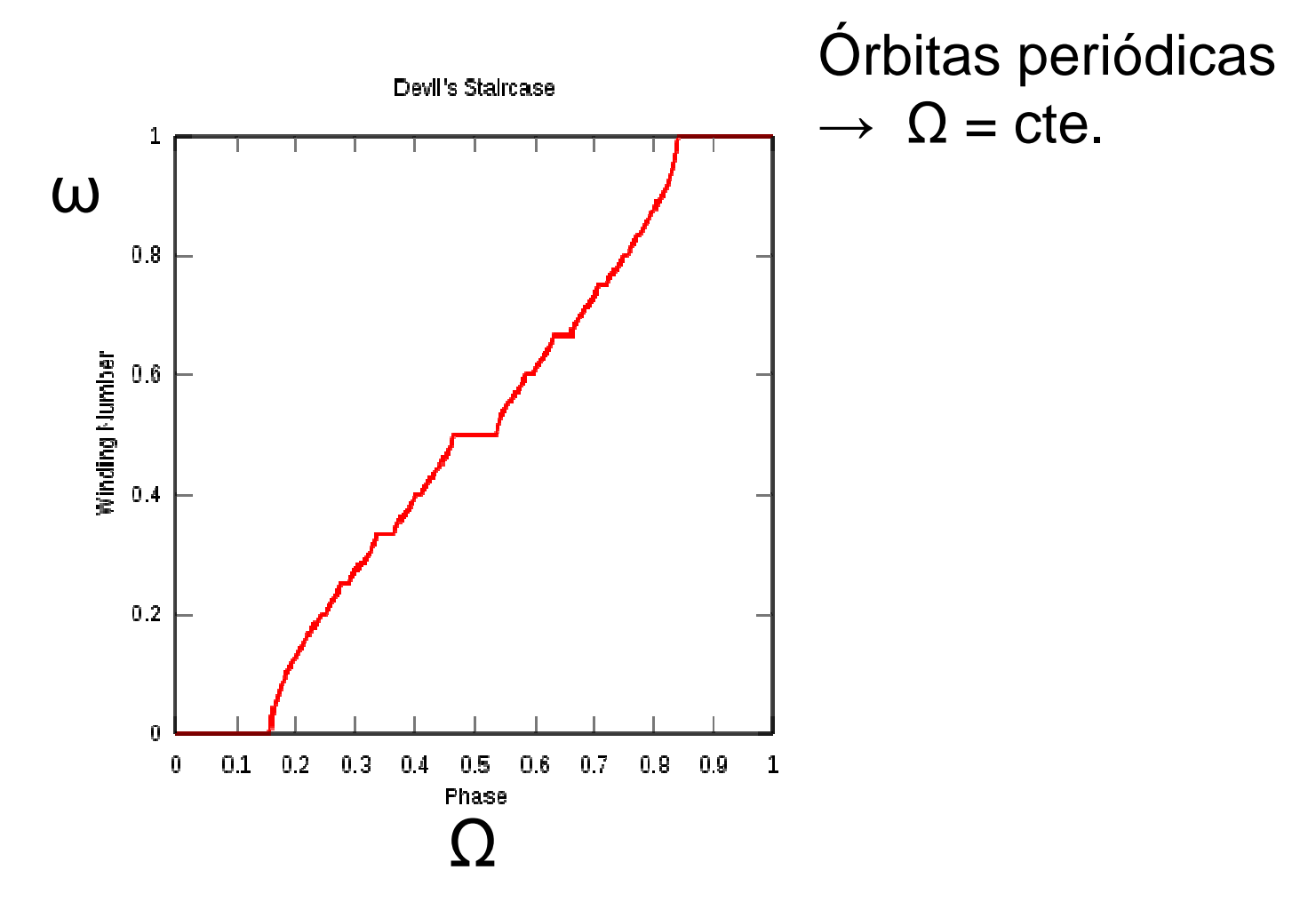
Órbitas regulares

 ω = racional = n/m \rightarrow órbitas periódicas

 ω = irracional \rightarrow órbitas quase-periódicas

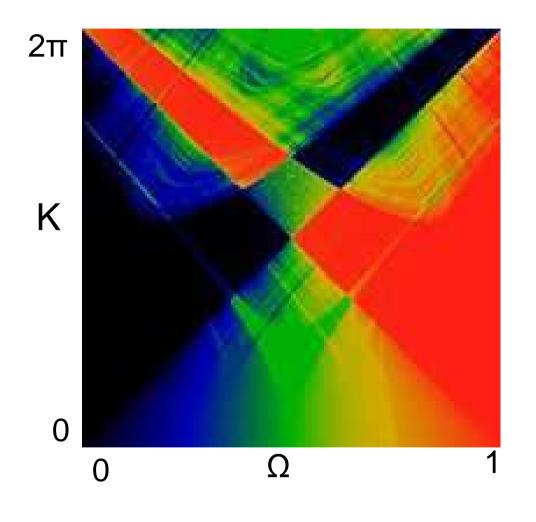
Órbitas caóticas $\rightarrow \omega$ não converge

A Escada do Diabo



Número de rotação ω x frequência Ω para K = 1

Cálculo do Número de Rotação ω



Preto: $\omega = 0$

Verde: $\omega = 0.5$

Vermelho: $\omega = 1$

Ruelle-Takens Theorem

D. Ruelle and F. Takens, Comm. Math. Phys. **20**, 167 (1971)

An immensely influential paper in the history of the study of chaos was the work of Ruelle and Takens [1], later extended with Newhouse [2] on the robustness of quasiperiodic dynamics with 3 or more incommensurate frequencies. This addressed the question of whether complexity in dynamics was likely to occur through the accumulation of Hopf-like bifurcations adding additional frequencies (and presumably spatial "modes"), or instead through the onset of low dimensional chaos. The statement of the theorem was quite mathematical, which led initially to a misunderstanding of the strength of the result in the physics community, but nevertheless it remains a powerful result.

- [1] D. Ruelle and F. Takens, Comm. Math. Phys. **20**, 167 (1971)
- [2] S.E. Newhouse, D. Ruelle and F. Takens, Comm. Math. Phys. 64, 35 (1978)

Rota em um Mapa de Poincaré Bidimensional (Fluxo Tridimensional)

C. Grebogi, E. Ott and J.A. Yorke Phys. Rev. Lett. 51, 339 (1983); Physica D15, 354 (1985)

$$\theta_{n+1} = \theta_n + \omega_1 + \varepsilon P_1(\theta_n, \phi_n) \mod 1$$

$$\phi_{n+1} = \phi_n + \omega_2 + \varepsilon P_2(\theta_n, \phi_n) \mod 1$$

where P_1 , P_2 are nonlinear functions periodic in both θ and ϕ with period 2π . The explicit forms used were sums of sinusoidal functions $A_{rs} \sin \left[2\pi \left(r\theta + s\phi + B_{rs} \right) \right]$ with A_{rs} and B_{rs} chosen randomly for (r, s) taking the values (0, 1), (1, 0), (1, 1), (1, -1). Equation (21.2) takes the form of two, nonlinearly coupled circle maps.

(P), as well as chaos. The types of motion were identified through the values of the two Lyapunov exponents (together with the third value 0 for the corresponding flow):

Map exponents	Flow Exponents	Dynamics
0, 0	0, 0, 0	3-frequency QP
0, -	0, 0, -	2-frequency QP
_, _	0, -, -	1-frequency (P)
+, ?	+, 0, ?	Chaotic

They found the percentage of the values of leading to each type of motion

Attractor	$\varepsilon/\varepsilon_c = 0.375$	$\varepsilon/\varepsilon_c = 0.75$	$\varepsilon/\varepsilon_c = 1.125$
3-frequency QP	82%	44%	0%
2-frequency QP	16%	38%	32%
Periodic	2%	11%	31%
Chaotic	0%	7%	36%

where ε_c is the value of ε for which the map becomes noninvertible. (When the map is noninvertible it can be shown that there is no 3-frequency periodic motion, c.f. the 1d circle map at K > 1.) Thus in this example at least, 3-frequency quasiperiodic

Evidências Experimentais

Experimentally 3-frequency quasiperiodic motion has been documented by Gollub and Benson [4], and 4-frequency and 5-frequency quasiperiodic motion by Walden et al.[5], both in fluid convection.

- [4] J.P. Gollub and S.V. Benson, J. Fluid. Mech. **100**, 449 (1980)
- [5] R.W. Walden, P. Kolodner, A. Passner, C.M. Surko, Phys. Rev. Lett. 53, 242 (1984)

IV- Janelas Periódicas: Um Cenário Homoclínico

Rene O. Medrano-T., Iberê L. Caldas

IF-USP

Abril / 2009

Motivação:

Espaço dos parâmetros das equações não lineares com soluções caóticas

Propriedades a serem explicadas:

a - Janelas periódicas (para mapas e equações diferenciais)

b-Distribuição dessas janelas

c-Sequência de janelas com períodos progressivamente crescentes

Sistema de Roessler

$$x = -y - z$$

$$y = x + a y$$

$$z = b + (x - c) z$$

Variáveis: $x, y, z \rightarrow espaço de fase tridimensional$ Parâmetros de controle: a, b, c

Y AXIS X 6XIS (a) (b) YAXIS (c) (d)

Figure 9.6 The Rössler attractor.

Parameters are set at a=0.1, b=0.1, and c=14. Four different views are shown. The dynamics consists of a spiraling out from the inside along the xy-plane followed by a large excursion in the z-direction, followed by re-insertion to the vicinity of the xy-plane. Part (d) shows a side view. The Lyapunov dimension is 2.005—indeed it looks like a surface.

Atrator Caótico de Roessler

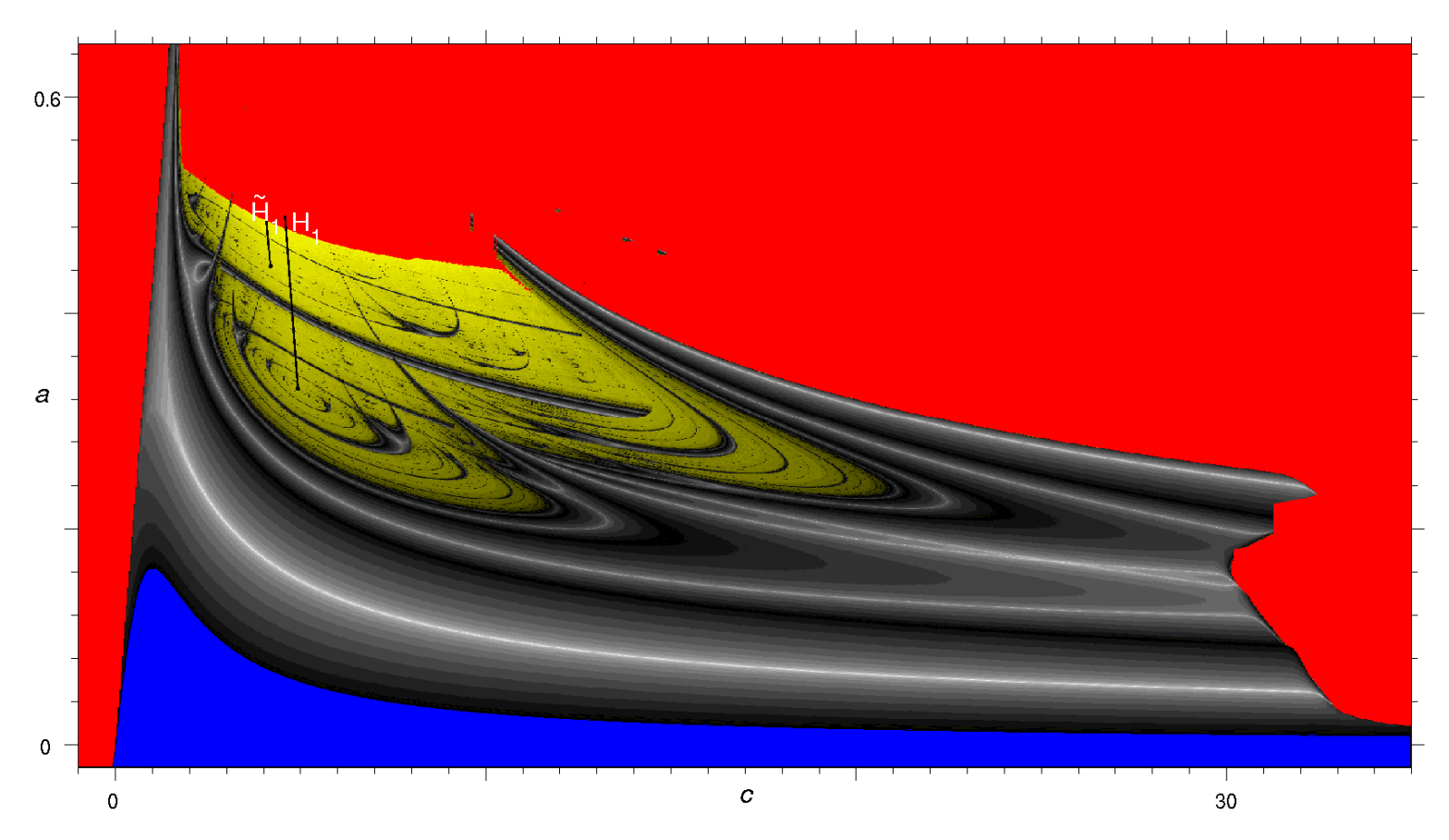
Chaos Alligood et al. Resultados obtidos para as equações de Roessler

Previsto pelo teorema de Shilnikov ⇒ {distribuição, no espaço dos parâmetros, de janelas periódicas em torno das órbitas homoclínicas

Aplicação do teorema de Shilnikov:

Descoberta da distribuição de órbitas homoclínicas no espaço dos parâmetros \Rightarrow distribuição das janelas periódicas

Sistema de Roessler Atratores no Espaço dos Parâmetros



Azul: ponto fixo Vermelho: infinito

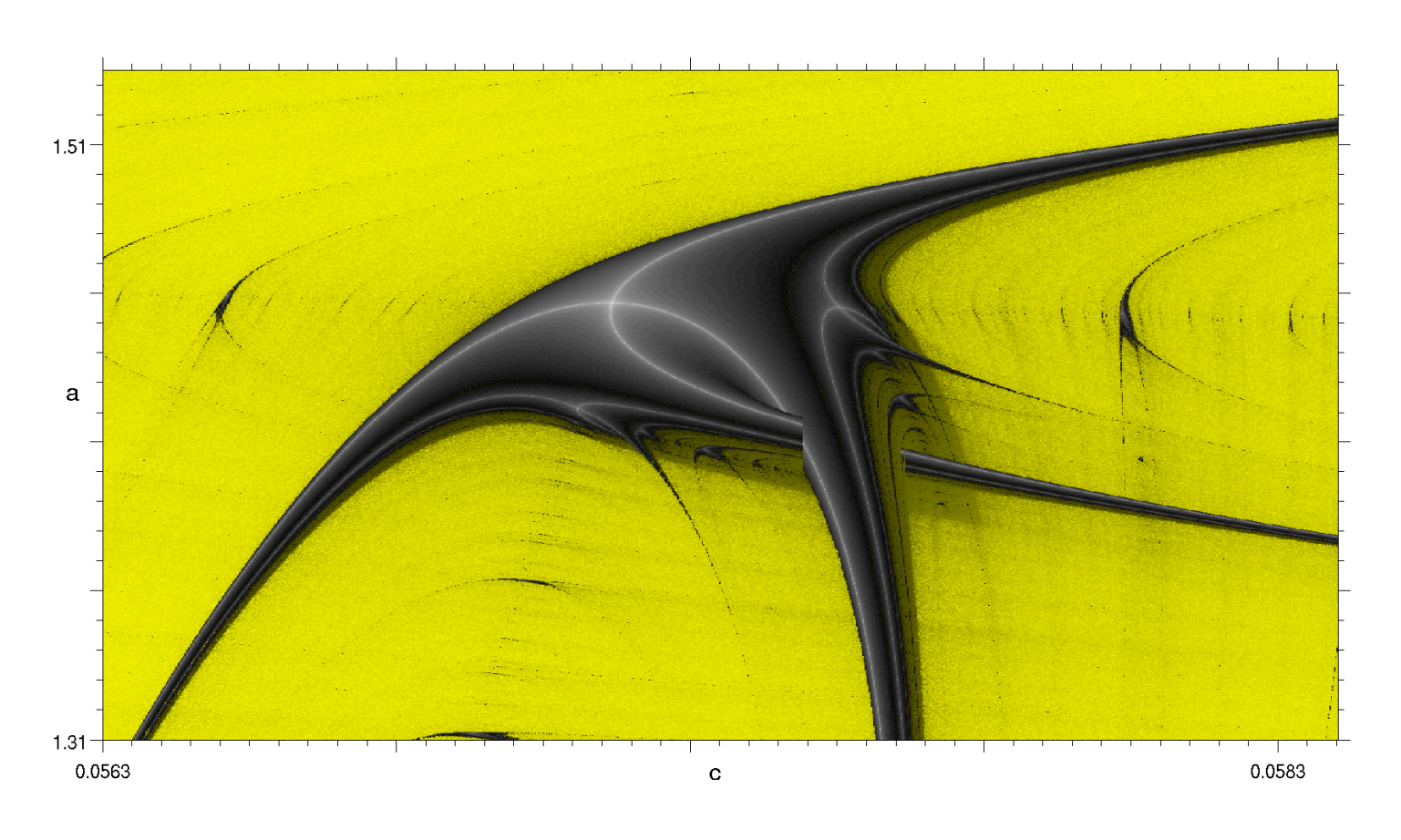
Amarelo: atrator caótico

Preto a branco: atrator periódico

Expoente de Lypunov do atrator periódico (graduação crescente de branco para preto) b = 0,3

Janela Periódica no Espaço dos Parâmetros

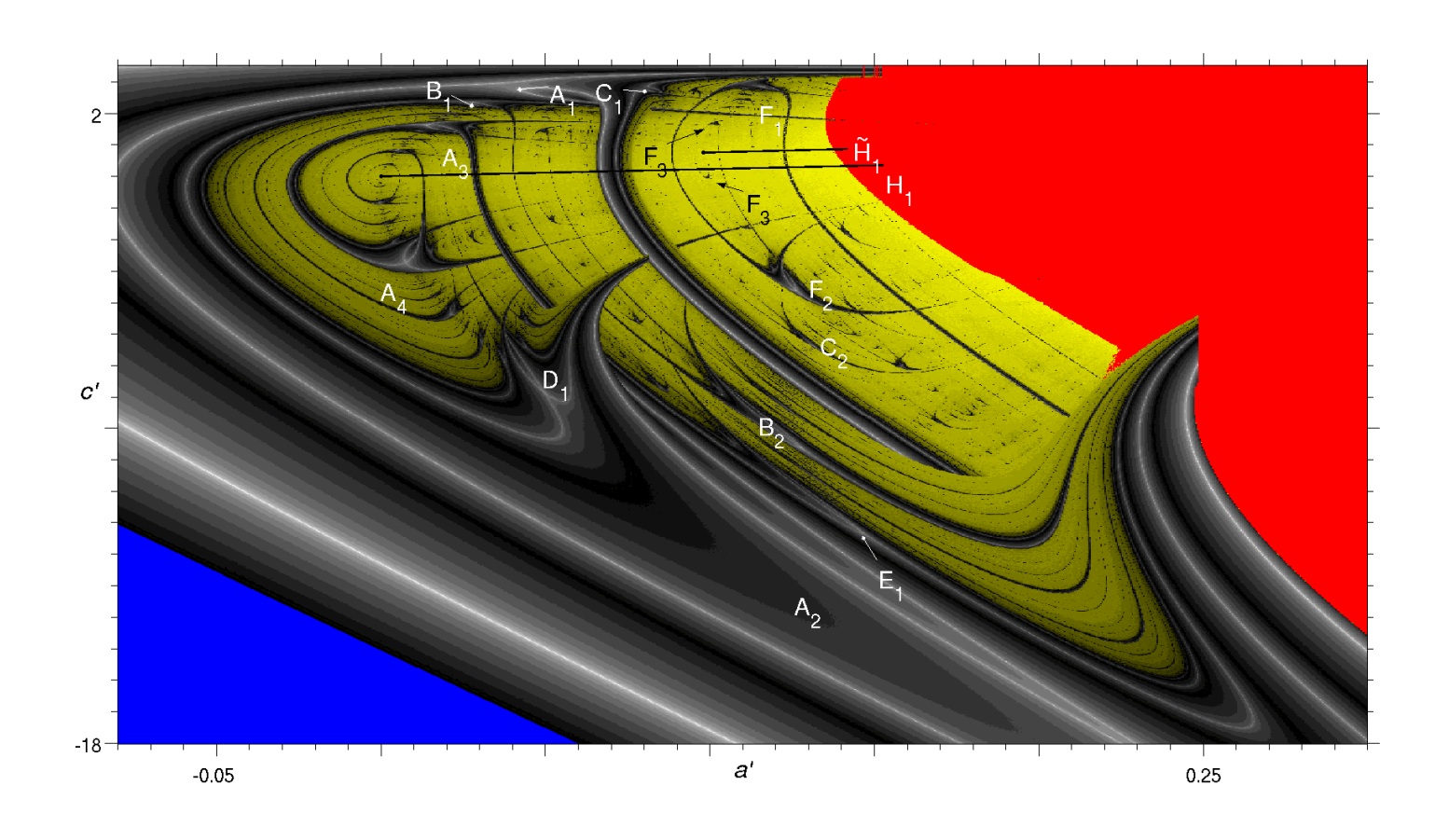
(b = 0.3)



Amarelo: atrator caótico

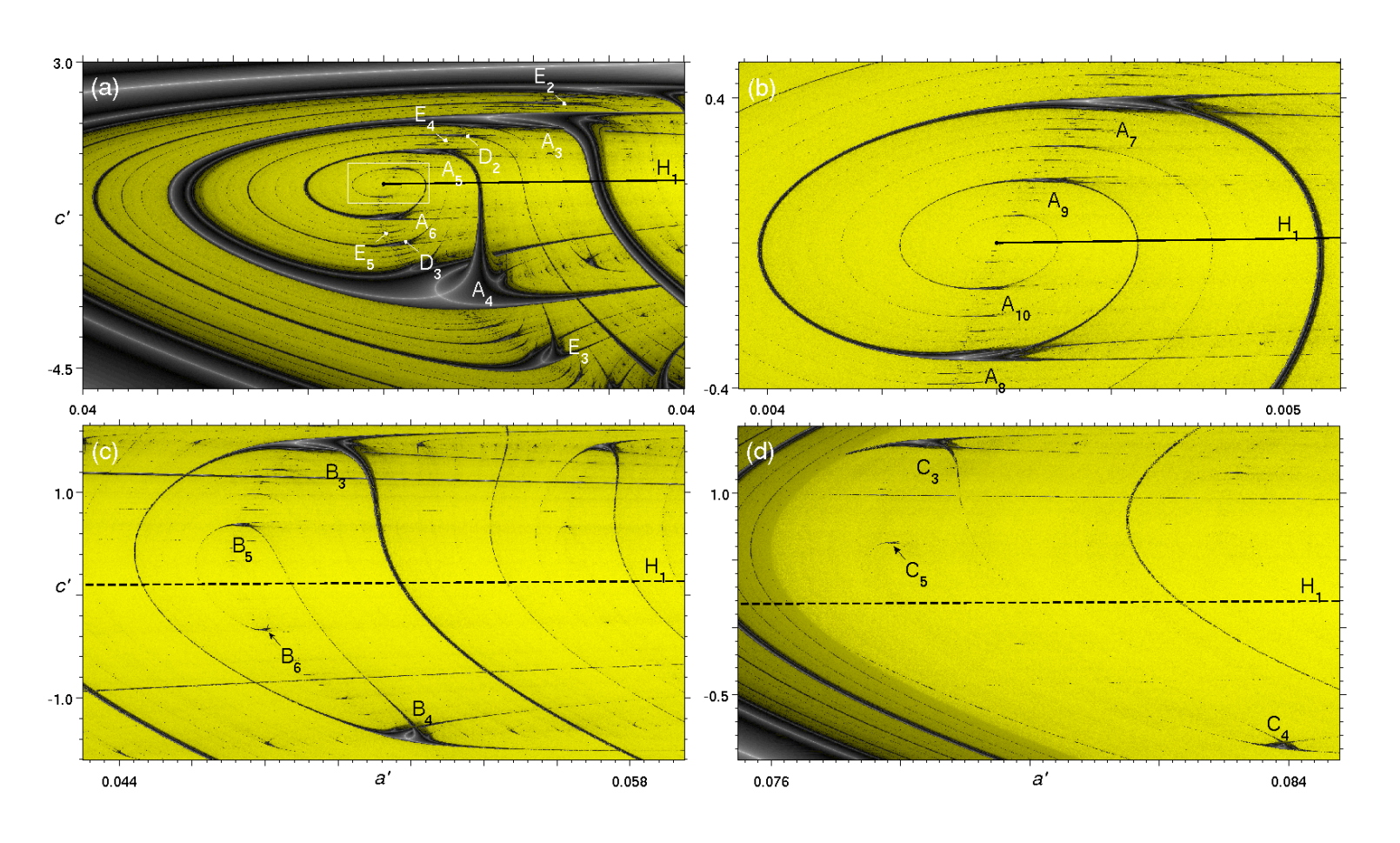
Graduação crescente de branco para preto: expoente de Lypunov do atrator periódico

Sistema de Roessler Órbitas Homoclínicas e Atratores no Espaço dos Parâmetros



Linhas H_1 e \widetilde{H}_1 : parâmetros com órbitas homoclínicas

Sequências de Janelas Periódicas Órbitas Homoclínicas H1



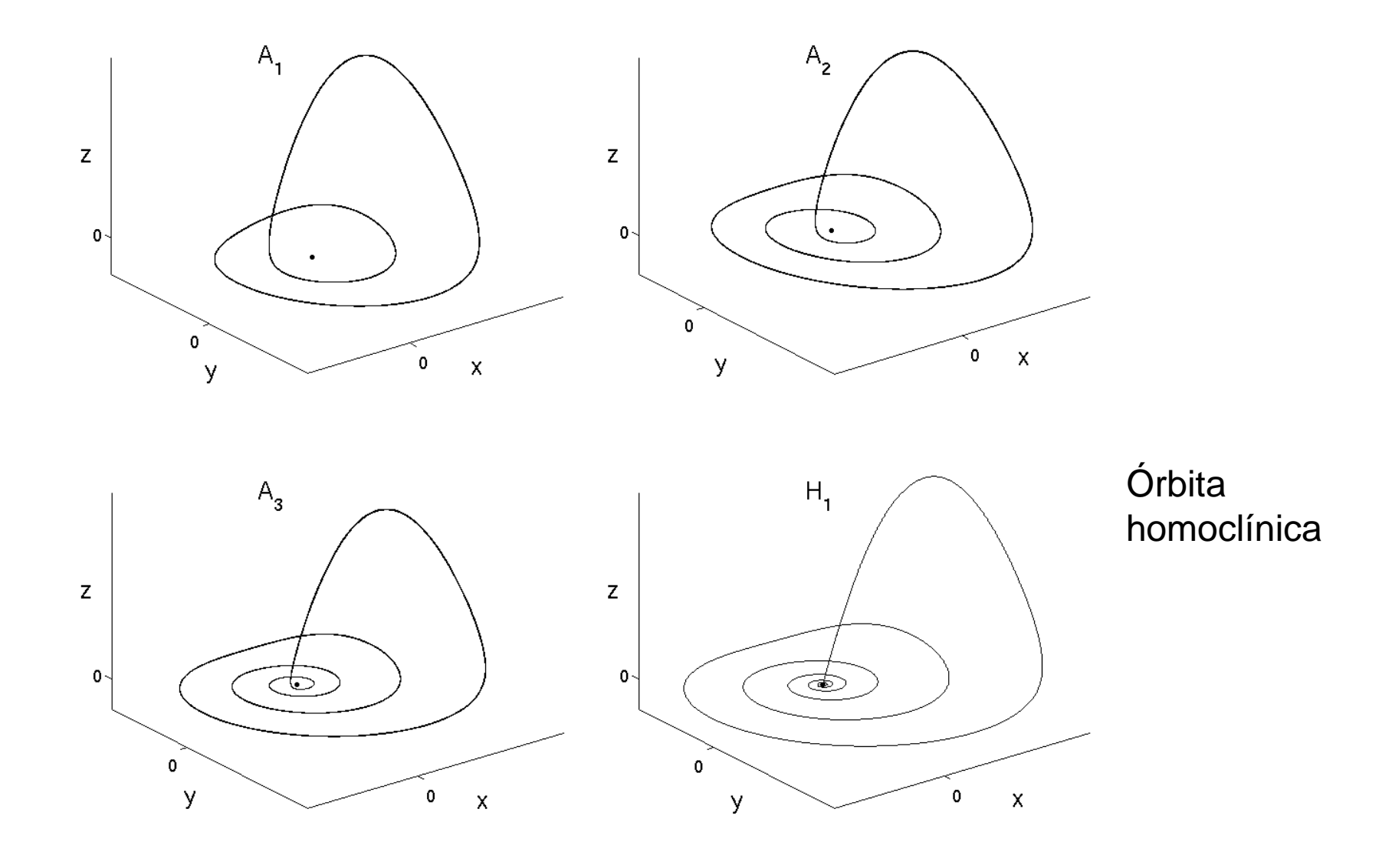
(a) Janelas periódicas A₃, A₄, A₅, A₆

(c) Janelas B_3, B_4, B_5, B_6

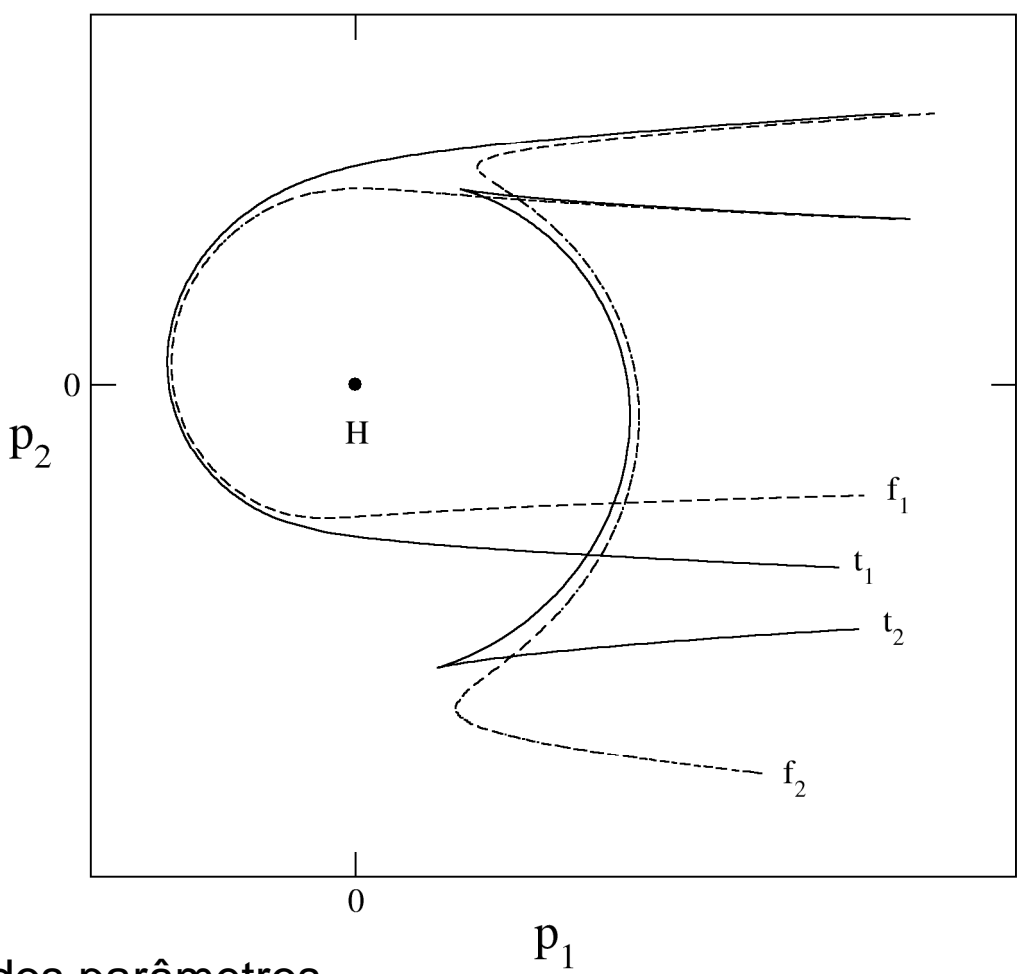
(b) Janelas A_7 , A_8 , A_9 , A_{10}

(d) Janelas C_3, C_4, C_5

Órbita Homoclínica e Órbitas Periódicas Associadas

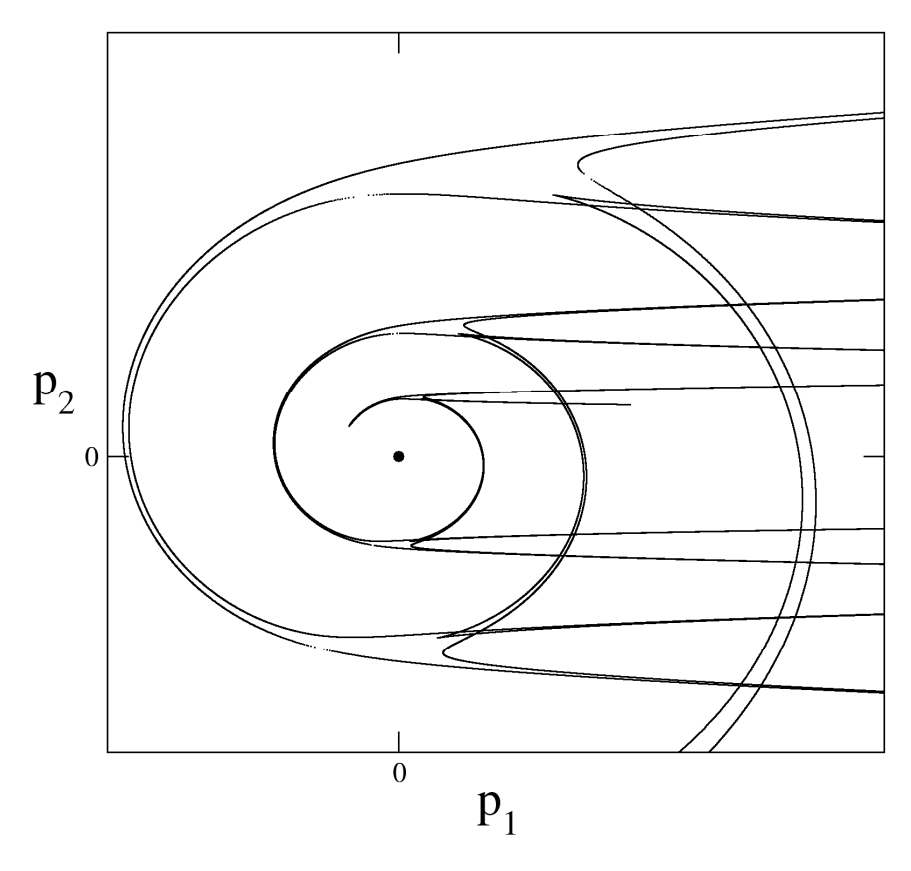


Estrutura da Janela Periódica Obtida Aplicando Teorema de Shilnikov



Espaço dos parâmetros
H – ponto com órbita homoclínicas
Rotas para o caos (bifurcações tangente e de duplicação de período)

Janela Periódica



Fronteiras obtidas da linearização em torno da órbita homoclínica